

## Study The Effect of Rotational Speed and Pouring Temperature on the Distribution of Si in Functionally Graded Material Produced by Centrifugal Casting

**Dr.Nawal Ezzat Abdul-Latiff**

Production & Materials Engineering Department, University of Technology / Baghdad

**Dr.Rabiha Salih Yaseen**

Production & Materials Engineering Department, University of Technology / Baghdad

**Abdul-jabbar Saad Jomah**

Production & Materials Engineering Department, University of Technology / Baghdad

Email:Abd AL Jabbar\_Saad

Received on: 14/10/2012 & Accepted on: 4/4/2013

### ABSTRACT

The aim of this study was to prepare a functionally graded material using centrifugal casting process and study the effect of process parameters (the rotational speed of casting mold and overheating temperature) on the microstructure of a hypereutectic( Al-23%Si) alloy. The melt was overheated to( 800,900) C° and poured in the centrifugal casting mold preheated to (100) ° C ,and rotated at different rotational speed (765,840,1043,1712,1878) r.p.m . The microstructure observation showed that the increasing of overheating temperature will increase the average volume fraction of primary silicon and decreased the grain size of silicon. Increasing mold rotational speed will increase the average volume fraction of primary silicon in the inner layer of cylinder and decreased it in the intermediate and outer layer of cylinder. Increasing mold rotational speed will also decreased the grain size of primary silicon. The results of wear tests showed that the maximum wear resistant was found in the inner layer of cylinder produced using rotational speed (1878) r.p.m and pouring temperature (800) ° C, minimum wear resistant was found in the intermediate layer of cylinder.

دراسة تأثير سرعة الدوران ودرجة حرارة الصب على توزيع السليكون  
لمادة متدرجة وظيفيا" ( FGM ) منتجة بسباكة الطرد المركزي

### الخلاصة

يهدف البحث إلى تحضير مادة متدرجة وظيفيا" ( FGM ) باستعمال سباكة الطرد المركزي ودراسة تأثير متغيرات العملية (سرعة دوران قالب السباكة ودرجة حرارة الصب ) على البنية المجهرية لسبيكة ألومنيوم – سليكون فوق اليوتكتك ( Al – 23%Si ) . تم تسخين السبيكة إلى درجة حرارة ( 900 , 800 ) م° ومن ثم صبها في قالب سباكة الطرد المركزي الذي تم تسخينه مسبقاً إلى درجة حرارة ( 100 ) م° باستخدام سرع دوران مختلفة لقالب السباكة هي ( 765 , 840 , 1043 , 1712 , 1878 ) دورة /







يفعل قوة الطرد المركزي في سمك الاسطوانة , كما تم دراسة معدل البلى للسبيكة الأساس التي تم صبها في قالب معدني (بدون طرد مركزي) . كما تم تنعيم سطح العينة الملامس للقرص الفولاذي الدوار لضمان تطابق جميع السطح وانتظام معدل البلى. يتم حساب معدل البلى وفق المعادلة التالية [15] :

$$\text{Volume wear rate (cm}^3\text{/cm)} = \Delta W / (2\pi r n \rho t) \\ = (W_1 - W_2) / (2\pi r n \rho t) \quad \dots (3)$$

إذ إن :

- $W_1$  : وزن العينة قبل الفحص (غم)  
 $W_2$  : وزن العينة بعد الفحص (غم)  
 $r$  : نصف قطر الدوران (7 سم)  
 $n$  : سرعة دوران القرص (278 دورة/دقيقة)  
 $\rho$  : كثافة المادة (2.6 غم/سم<sup>3</sup>)  
 $t$  : زمن الفحص (15 دقيقة)

### النتائج والمناقشة

تأثير سرعة دوران القالب ودرجة حرارة الصب على البنية المجهرية وسمك تواجد دقائق (Si) الاولى: يوضح الشكل (6) التركيب المجهرى لسبيكة (AI-23%Si) تم صبها في قالب معدني ساكن , يلاحظ من الشكل أن دقائق (Si) الاولى ( $\beta - Si$ ) تكون ذات حجوم كبيرة بحدود (123 مايكرو متر وذات كسر حتمي قليل بحدود (8%) وموزعة بشكل عشوائي في البنية الأساس المتكونة من شبكة من طور اليوتكتك ( $\alpha - AI + \beta - Si$ ) .

اما الشكل (3) صور فوتوغرافية لمقاطع من اسطوانات تم إنتاجها بسباكة الطرد المركزي لسبيكة (AI-23%Si) عند سرع دوران مختلفة ودرجات حرارة صب مختلفة , يلاحظ من الشكل إن سمك الاسطوانة يتألف من ثلاث طبقات بفعل تأثير سرعة دوران قالب السباكة , وهي على التوالي :

- **الطبقة الخارجية** وتحتوي هذه الطبقة على نسبة قليلة من دقائق (Si) الاولى صغيرة الحجم , وهي الطبقة الملامسة لسطح قالب السباكة ويمكن تفسير وجود هذه الطبقة إلى انه عند صب المعدن المنصهر في قالب الطرد المركزي فان المناطق عند سطح التلامس بين المعدن المنصهر وسطح القالب سوف تتجمد بسرعة وهذا يرجع إلى معامل التوصيل الحراري لمعدن القالب الذي يؤدي إلى إحداث إفراط عالي في التبريد نتيجة الفرق بين درجة حرارة المعدن المنصهر وسطح القالب المعدني وبذلك تتكون هذه الطبقة . وتتأثر عملية التجمد في هذه المنطقة كذلك بسرعة دوران قالب السباكة الذي يعمل على زيادة انتقال الحرارة من المعدن المنصهر عبر قالب السباكة إلى المحيط الخارجي (الهواء) وبالتالي زيادة معدل التبريد .

- **الطبقة الوسطية** وتكون هذه الطبقة إما خالية من دقائق (Si) الاولى كما في شكل (3,a) أو يتدرج فيها وجود دقائق السليكون كما في شكل (3,b) ويعتمد ذلك على سرعة دوران قالب السباكة . ويمكن تفسير تواجد دقائق السليكون في هذه المنطقة إلى انه عند حدوث عملية التجمد عند سطح التلامس بين سطح القالب والمنصهر المعدني يؤدي إلى انبعاث الطاقة الكامنة للتجمد وبذلك ترتفع درجة حرارة المنصهر مما يوفر فرصة لتحرك دقائق السليكون نحو المناطق الداخلية للاسطوانة . إن حركة هذه الدقائق وتدرج وجودها يتأثر بمعدل التبريد وسرعة دوران قالب السباكة إضافة إلى اختلاف الكثافات بين دقائق السليكون المتجمدة وكثافة المنصهر المعدني . إن استمرار حركة الدقائق يؤدي إلى الحصول على مادة متدرجة [2] . - **الطبقة الداخلية** وهي الطبقة التي تتركز فيها دقائق (Si) الاولى ( $\beta - Si$ ) ويعزى وجود الدقائق في هذه الطبقة إلى تأثير قوة الطرد المركزي الناتجة من دوران القالب التي تعمل على دفع دقائق (Si) الاولى من

الطبقات الخارجية نحو الطبقات الداخلية من الاسطوانة , إضافة إلى اختلاف الكثافات بين الأرضية ودقائق (Si) إذ إن كثافة دقائق (Si) والبالغة (2.33 غم / سم<sup>3</sup>) أقل من كثافة منصهر الألمنيوم والبالغة (2.7 غم / سم<sup>3</sup>) وبذلك فإن سرعة حركة دقائق (Si) تكون أكبر من سرعة دقائق (Al) التي تتحرك ببطء . وتعتمد سرعة الدقائق بشكل كبير على فرق الحجم بين المعدن المنصهر والدقائق إذ إن الدقائق التي لها حجم عالي لها سرعة أعلى من الدقائق ذات الحجم الصغيرة عند ثبوت الكثافة , وبذلك تتحرك هذه الدقائق نحو الطبقة الخارجية وتتركز فيها [7,2].

تبيين الأشكال (4),(5) صور المجهر الإلكتروني الماسح (SEM) لاسطوانات (من الخارج إلى الداخل) تم إنتاجها عند سرعة دوران (1878) دورة / دقيقة ودرجة حرارة صب مختلفة , حيث يلاحظ من الشكل توزيع دقائق السليكون بشكل متدرج في الطبقات (الداخلية و الخارجية) من سمك الاسطوانة وخلو الطبقة الوسطية من هذه الدقائق .

### تأثير سرعة دوران القالب على الكسر الحجمي (Vf) والحجم الحبيبي لدقائق (Si) الاولى

أظهرت نتائج الفحص المجهرية إن لسرعة دوران قالب سباكة الطرد المركزي تأثيراً على كل من الكسر الحجمي والحجم الحبيبي لدقائق (Si) في الأرضية , وسيتم مناقشة التركيب المجهرية اعتماداً على الطبقات الناتجة وكما يلي :

#### - الطبقة الخارجية

يوضح الشكل (7) التركيب المجهرية للطبقات الخارجية والوسطية والداخلية لاسطوانات تم إنتاجها عند سرعة دوران مختلفة ودرجة حرارة صب (800) م° , يلاحظ من الشكل إن معدل الكسر الحجمي (Vf) لدقائق (Si) الاولى في هذه المنطقة يقل مع زيادة سرعة الدوران. إن سبب وجود دقائق (Si) في هذه المنطقة يعود إلى معدل التبريد السريع (chilling) الناتج من انتقال الحرارة عبر سطح القالب المعدني مما يؤدي إلى حدوث إفراط في التبريد وتجمد المنطقة الخارجية للاسطوانة وبالتالي عدم قدرة الدقائق على الحركة وبقائها في المنطقة الخارجية للاسطوانة, كما إن زيادة سرعة الدوران تؤدي إلى زيادة انتقال الحرارة من المعدن المنصهر إلى قالب السباكة ومن قالب السباكة إلى المحيط الخارجي (الهواء) وبالتالي زيادة معدل التبريد ومن ثم الحصول على دقائق سيلكون صغيرة الحجم في هذه الطبقة [7]. كما يلاحظ من الشكل إن معدل حجم دقائق (Si) الاولى لهذه المنطقة قليل ويقبل تدريجياً مع زيادة سرعة الدوران, ويرجع السبب في صغر حجم دقائق السليكون في هذه المنطقة إلى قوة الطرد المركزي التي تسلط ضغطاً على المنصهر وتدفعه بقوة إلى الجدار الداخلي للقالب إضافة إلى معدل التبريد العالي في هذه المنطقة التي تؤدي إلى منع نمو دقائق (Si) بعد تبلورها [13] .

#### - الطبقة الوسطية

يلاحظ من الشكل إن معدل الكسر الحجمي (Vf) لدقائق (Si) الاولى في هذه المنطقة يقل مع زيادة سرعة دوران القالب . ولكن عند استخدام السرعة العالية لقالب السباكة ينعدم تواجد الدقائق ويكون معدل الكسر الحجمي لدقائق (Si) (0%) عند سرعة دوران (1878) دورة / دقيقة ويتألف التركيب المجهرية فقط من البيوتكتك (Al - Si) , في هذه المنطقة يتحقق التدرج بشكل كامل (FGM) حيث تكون هذه السرعة هي السرعة المثالية التي أعطت تدرجاً في المادة بشكل كامل , إن السرعة العالية لقالب السباكة يجعل سرعة دقائق (Si) عالية جداً مما يؤدي إلى انعزالها في الطبقة الداخلية للاسطوانة (أي في اتجاه جبهة التجمد) [7] وبقاء المنطقة الوسطية خالية منها . كما يلاحظ من الشكل إن معدل حجم دقائق (Si) الاولى لهذه المنطقة أعلى من حجم الدقائق في المنطقة الخارجية ولكنه أقل من حجم الدقائق في الطبقة الداخلية . ويقبل معدل حجم دقائق (Si) تدريجياً مع زيادة سرعة دوران قالب سباكة الطرد المركزي. إن معدل حجم دقائق (Si) الاولى لهذه المنطقة أعلى من حجم الدقائق في المنطقة الخارجية يرجع ذلك إلى زيادة درجة حرارة المنصهر بعد تجمد السطح الخارجي للاسطوانة وتوفير الوقت الكافي لنمو الدقائق وبذلك يزداد حجمها [14] .

**- الطبقة الداخلية**

يلاحظ من الشكل تجمع دقائق (Si) الأولى في هذه المنطقة إذ تحتوي هذه الطبقة على أعلى كسر حجمي مقارنة ببقية المناطق ويزداد مع زيادة سرعة الدوران. إن السبب في تجمع دقائق (Si) الأولى في هذه المنطقة يرجع إلى طبيعة التجمد نتيجة قوة الطرد المركزي الناتجة من سرعة دوران قالب سباكة الطرد المركزي. كما يلاحظ من الشكل إن حجم دقائق (Si) الأولى أكبر من حجوم الدقائق في المناطق الأخرى، إذ يزداد حجم الدقائق عند الاتجاه إلى مركز الاسطوانة، إن درجة الحرارة العالية في هذه المنطقة توفر فرصة لدقائق (Si) للنمو، كذلك فإن حجم هذه الدقائق يقل مع زيادة سرعة الدوران بسبب زيادة معدل التبريد [15].

يوضح الشكل (8) العلاقة بين معدل الكسر الحجمي (Vf) لطور (Si) الأولى وسماك الاسطوانة (الطبقة الداخلية، الوسطية، الخارجية) عند سرعة دوران مختلفة ودرجة حرارة صب (800) م°. مما سبق ومن ملاحظة الشكل (9) الذي يمثل العلاقة بين معدل حجم دقائق (Si) الأولى وسماك الاسطوانة (الطبقات الثلاث) عند سرعة دوران مختلفة ودرجة حرارة صب (800) م°، يلاحظ وجود تدرج في معدل حجم الدقائق في مناطق الاسطوانة المنتجة بالطرد المركزي.

**تأثير درجة حرارة الصب على الكسر الحجمي (Vf) والحجم الحبيبي لدقائق السليكون الأولى  
- للطبقة الخارجية**

أظهرت نتائج الفحص المجهرى أن لدرجة حرارة صب المعدن المنصهر تأثير على الكسر الحجمي لدقائق السليكون الأولى خلال الأرضية، ويوضح الشكل (10) التركيب المجهرى للطبقات الخارجية والوسطية والداخلية لاسطوانات تم إنتاجها عند سرعة دوران مختلفة ودرجة حرارة صب (900) م°، يلاحظ من الشكل أن معدل الكسر الحجمي لدقائق السليكون في هذه المنطقة يقل مع زيادة سرعة الدوران. إن هذه القيم أعلى مقارنة بقيم الكسر الحجمي لدقائق السليكون في هذه المنطقة عند الصب بنفس السرعة والصب في درجة حرارة (800) م°. إن زيادة درجة حرارة المنصهر (مع ثبوت بقية متغيرات عملية السباكة) يؤدي إلى زيادة الإفراط في التبريد الذي يؤدي إلى زيادة معدل التئوبه لطور السليكون وهذا بدوره يؤدي إلى زيادة عدد الحبيبات في المراحل الأولى للتجمد وبالتالي يؤدي إلى زيادة الكسر الحجمي لدقائق السليكون [16]. كما يلاحظ من الشكل إن معدل حجم دقائق السليكون لهذه المنطقة يكون قليل، وهو يقل تدريجياً مع زيادة سرعة دوران القالب. كما إن معدل حجم هذه الدقائق يكون أقل مقارنة بحجم الدقائق عند الصب في درجة حرارة (800) م°.

**- للطبقة الوسطية**

يلاحظ من الشكل إن معدل الكسر الحجمي لدقائق السليكون في هذه المنطقة يكون أقل مما في المنطقة الداخلية وهو يقل مع زيادة سرعة الدوران لكنه يكون ذا معدل أعلى مقارنة به عند الصب في درجة حرارة (800) م°. كما يلاحظ من الشكل إن معدل حجم دقائق السليكون الأولى لهذه المنطقة أقل من الطبقة الداخلية وهو يقل تدريجياً مع زيادة سرعة دوران القالب، كما أن معدل حجم هذه الدقائق يكون أقل مقارنة بحجم الدقائق عند الصب في درجة حرارة (800) م°.

**- للطبقة الداخلية**

يلاحظ من الشكل إن معدل الكسر الحجمي لدقائق السليكون يزداد مع زيادة درجة حرارة صب المعدن المنصهر وهو يزداد مع زيادة سرعة الدوران لكنه يكون ذو معدل أعلى مقارنة به عند الصب في درجة حرارة (800) م°. كما يلاحظ من الشكل إن حجم دقائق السليكون الأولى يقل مع زيادة درجة الحرارة وسرعة دوران القالب حيث كانت هذه القيم أقل عند الصب في درجة حرارة (800) م°، إن لسرعة دوران القالب درجة حرارة الصب تأثير على معدل التبريد إذ إن زيادة سرعة الدوران تؤدي إلى خفض

درجة حرارة المنصهر المعدني وبذلك يزداد معدل التبريد وهذا بدوره يؤثر على كل من الكسر الحجمي والحجم الحبيبي لدقائق السليكون الاولي , وزيادة سحب القالب المعدني للحرارة من المنصهر وهذا بدوره يؤدي إلى تقليل الفترة الزمنية اللازمة لعملية التجمد [15].

من ملاحظة الشكل (11) الذي يمثل العلاقة بين معدل الكسر الحجمي ( Vf ) لطور السليكون الاولي وسمك الاسطوانة ( الطبقات الثلاث ) عند سرع دوران مختلفة ودرجة حرارة صب ( 900 ) م ° , يلاحظ تدرج توزيع دقائق السليكون في المناطق الثلاث.

يبين الشكل (12) العلاقة بين معدل حجم دقائق السليكون الاولي وسمك الاسطوانة ( الطبقات الثلاث ) عند سرع دوران مختلفة ودرجة حرارة صب ( 900 ) م ° , يلاحظ من الشكل تدرج حجوم دقائق السليكون في المناطق المختلفة من الاسطوانة, حيث تكون حجوم دقائق السليكون عالية في الطبقة الداخلية من الاسطوانة وهي تقل تدريجيا مع الابتعاد عن مركز الاسطوانة نحو السطح حيث تكون اقل قيمة لها , كما تقل حجوم دقائق السليكون مع زيادة سرعة دوران قالب السباكة .

### - نتائج فحص البلى

من نتائج الفحص المجهرى لوحظ إن الظروف الملائمة لإنتاج اسطوانة من سبيكة ( Al-Si ) فوق البيوتكتك بطريقة السباكة بالطرد المركزي تعطي مادة متدرجة بشكل كامل ( FGM ) وبسمك تواجد عالي لدقائق السليكون الاولي في المنطقة الداخلية للاسطوانة هي باستعمال سرعة دوران مقدارها ( 1878 ) دورة / دقيقة والصب في درجة حرارة ( 800 ) م ° لذلك اجري فحص البلى على مقاطع مختلفة من هذه الاسطوانة ومقارنتها مع سلوك البلى للسبيكة الأساس, ويوضح الشكل (13) نتائج هذا الفحص , يلاحظ من الشكل إن المنطقة الداخلية للاسطوانة أظهرت معدل بلى قليل جدا فهو بحدود ( $1 \times 10^{-7}$ ) سم<sup>3</sup> / سم تليها المنطقة الخارجية التي كان معدل البلى فيها بحدود ( $2 \times 10^{-7}$ ) سم<sup>3</sup> / سم ثم المنطقة الوسطية للاسطوانة , ويعزى السبب في ذلك إلى نسب وجود دقائق السليكون الاولي في كل منطقة حيث تشكل أعلى كسر حجمي ( Vf ) في المنطقة الداخلية, وهذا أدى إلى تقليل معدل البلى. أما المنطقة الوسطية كان معدل البلى فيها عالياً جدا فهو بحدود ( $3 \times 10^{-7}$ ) سم<sup>3</sup> / سم وذلك لخلو هذه المنطقة بشكل كامل من دقائق السليكون بفعل قوة الطرد المركزي العالية . أما السبيكة الأساس فقد أبدت معدل بلى أعلى من الطبقة الداخلية والخارجية لاسطوانة الطرد المركزي والتي كان معدل البلى فيها بحدود ( $2.5 \times 10^{-7}$ ) سم<sup>3</sup> / سم .

يبين الشكل (14) صور المجهر الالكتروني الماسح لسطح البلى للطبقات ( الداخلية و الوسطية والخارجية ) من سمك اسطوانة تم إنتاجها عند سرعة دوران (1878) دورة / دقيقة ودرجة حرارة صب ( 800 ) م ° , يبين الشكل (14,a) سطح البلى للطبقة الداخلية حيث يمكن مشاهدة الحزوز على سطح البلى والتي تكون غير عميقة كما إن التلف في السطح يكون قليلاً, أظهرت هذه الطبقة أفضل خصائص للبلى ( اقل وزن مفقود , حزوز قريبة من السطح ) وذلك بسبب الكسر الحجمي العالي لدقائق السليكون ذات الصلادة العالية وتركيب البيوتكتك الناعم .

يبين شكل ( 14,b ) سطح البلى للطبقة الوسطية التي أظهرت معدل بلى عالي ويلاحظ وجود تشوه لدن وتلف كبير في سطح البلى كما إن الحزوز كانت عميقة حيث أظهرت هذه الطبقة أسوأ خصائص للبلى ( أعلى وزن مفقود , حزوز عميقة ) وذلك بسبب خلو هذه المنطقة من دقائق السليكون الاولي . يبين شكل ( 14,c ) سطح البلى للطبقة الخارجية حيث لوحظ حدوث بلى وتلف قليل في السطح. أما شكل (15) يبين تركيب سطح البلى للسبيكة الأساس حيث أظهرت سلوك بلى متنوع على سطح العينة وذلك بسبب التوزيع العشوائي لدقائق السليكون ذات الحجم الكبير , حيث أظهرت تلك المناطق سلوك بلى مرتفع وأخر رديء اعتمادا على وجود دقائق السليكون في أرضية العينة , مقارنة باسطوانة الطرد المركزي .

### الاستنتاجات

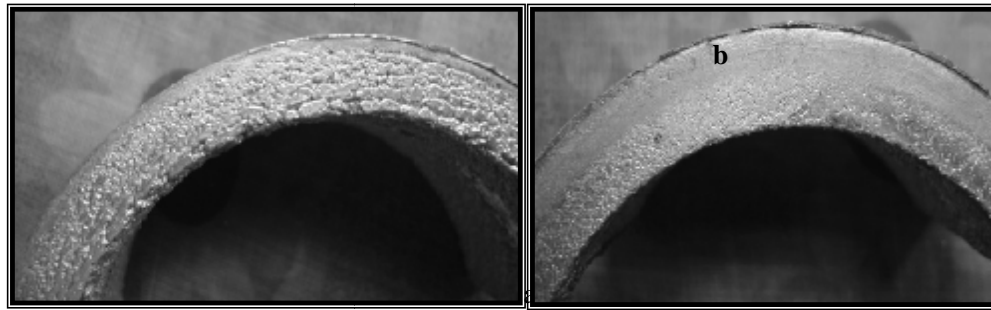
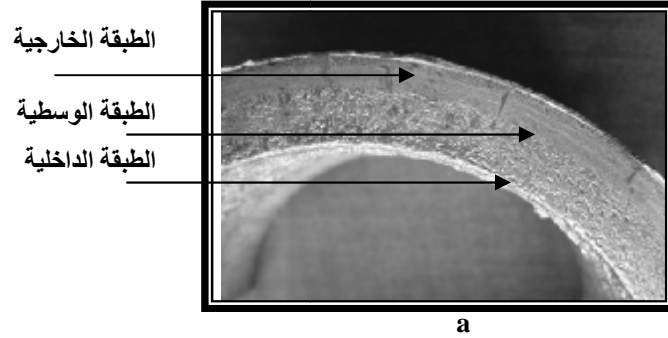
1- قوة الطرد المركزي أدت إلى تكوين ثلاث مناطق في سمك الاسطوانة هي المنطقة الداخلية والتي تتركز فيها دقائق السليكون الاولي بشكل عالي , المنطقة الوسطية والتي أما يتدرج فيها توزيع دقائق السليكون عند



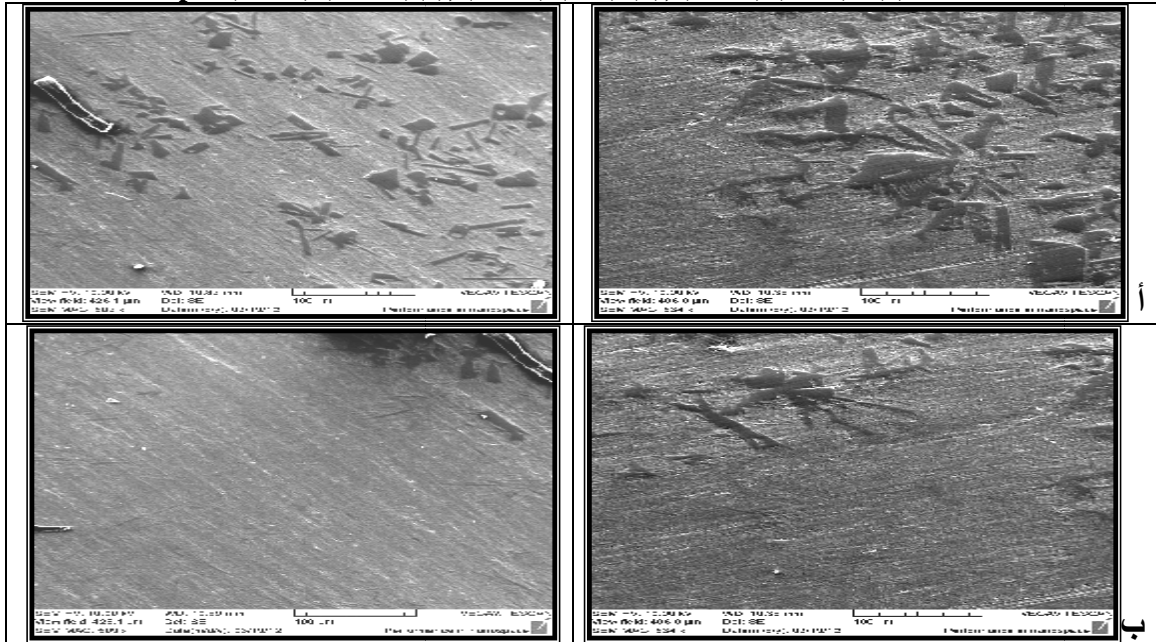








شكل (3) صور فوتوغرافية توضح تكون الطبقات خلال مقطع سمك الاسطوانات المنتجة بسبائك الطرد المركزي عند سرعة دوران (a) (1878) (800c°) (b), (800c°) (765) (c), (1712) (900c°) r.p.m





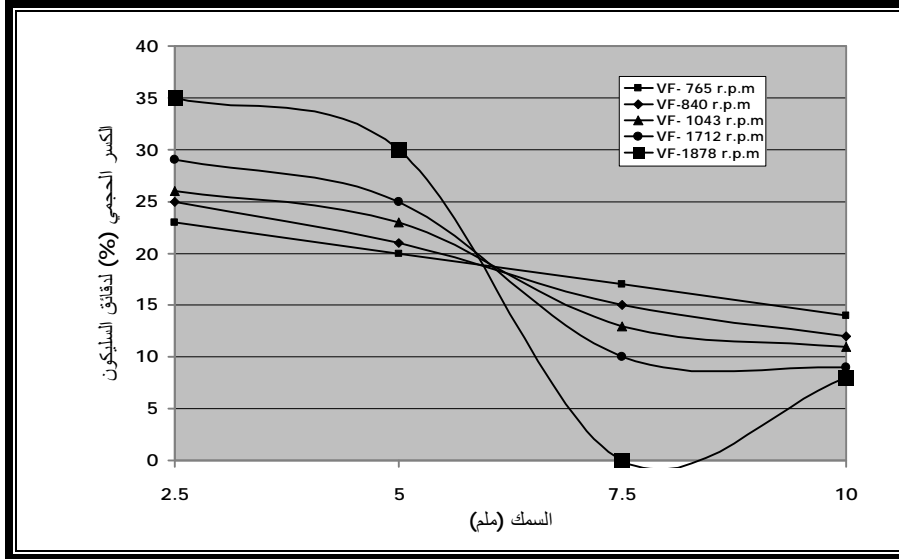




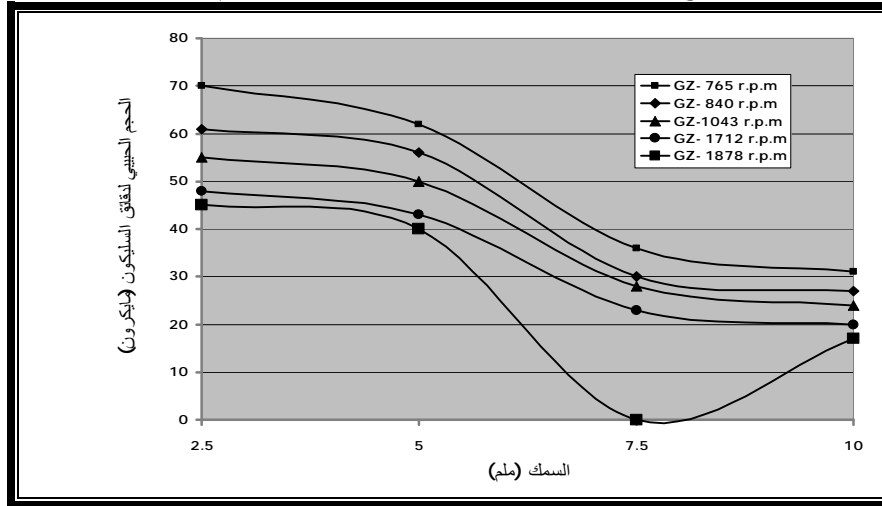








شكل (10) العلاقة بين معدل الكسر الحجمي لطور السليكون الاولي وسمك الاسطوانة عند  
سرع دوران مختلفة ودرجة حرارة صب ( 900 ) م°.



شكل (11) العلاقة بين معدل حجم دقائق ( Si ) الاولي وسمك الاسطوانة عند سرع  
دوران مختلفة ودرجة حرارة صب ( 900 ) م°.

